

УДК 532.546

АНАЛИЗ ТЕМПЕРАТУРНОГО ПОЛЯ ЦИЛИНДРИЧЕСКОГО ПОТОКА НА ОСНОВЕ “В СРЕДНЕМ ТОЧНОГО” РЕШЕНИЯ

А. И. Филиппов, П. Н. Михайлов*,
О. В. Ахметова*, М. А. Горюнова*

Уфимский государственный авиационный технический университет,
450025 Уфа

* Стерлитамакский филиал Академии наук Республики Башкортостан,
453103 Стерлитамак
E-mail: mihaylov_pn@rambler.ru

Построено температурное поле в скважине на основе “в среднем точного” решения, позволяющего исследовать задачи подземной термодинамики и тепломассопереноса. Задача представлена в виде последовательности задач смешанного типа, решения которых дают соответствующие коэффициенты асимптотического разложения, вид остаточного члена и функций, учитывающих наличие пограничного слоя, для которых также найдены аналитические решения. Показано, что предложенный модифицированный асимптотический метод обеспечивает обращение в нуль решения осредненной задачи для остаточного члена.

Ключевые слова: скважина, температурное поле, асимптотический метод.

Введение. Температурные измерения широко используются при исследовании скважин и пластов [1–4]. Вследствие большой сложности термодинамических процессов, при описании которых необходимо использовать развитые механические модели течения многофазных смесей в трубах, получены приближенные аналитические решения основной задачи термокаротажа только для средней по сечению скважины температуры. Ранее показано, что реальные радиальные распределения температуры могут быть найдены на основе асимптотических методов в первом приближении [5].

Попытки построения теории тепловых процессов в скважине на основе асимптотических методов предприняты в работах [6–10]. В [9] в предположении постоянства температурного градиента окружающих скважину пород построено приближенное аналитическое решение с учетом радиального профиля скорости. Новый способ расчета средней по сечению скважины описан в [10].

В отличие от [1–10] в настоящей работе за счет построения решений, учитывающих наличие пограничного слоя [11], устранены вязкие границы [12]. На основе “в среднем точного” асимптотического решения в развитие предложенного ранее подхода [10] найдены решения основной задачи термокаротажа в нулевом и первом приближениях.

Математическая постановка задачи. На рис. 1 представлена геометрия задачи о температурном поле жидкости, текущей в трубе радиусом r_0 . Предполагается, что окружающая среда однородная и анизотропная [14], температура отдаленных от скважины участков пород изменяется по линейному закону по мере увеличения глубины скважины z_d ; рассматривается диапазон глубин, в котором отсутствует влияние сезонных колебаний температуры на поверхности. На искомое решение накладывается также условие

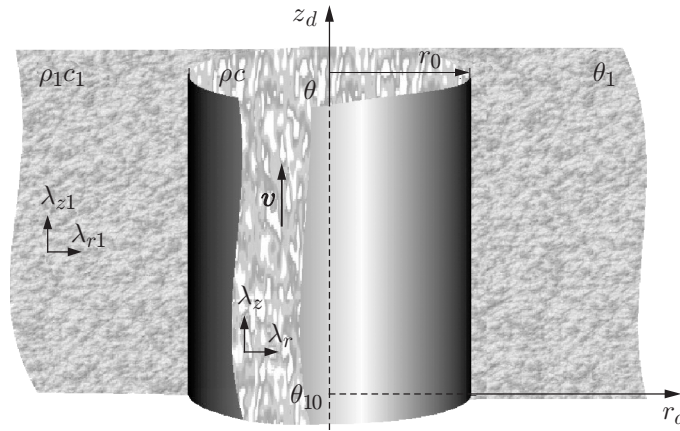


Рис. 1. Геометрия задачи

симметрии, заключающееся в том, что производная по радиальной координате на оси z_d цилиндрической системы координат, направленной вверх по оси трубы, в центре скважины обращается в нуль.

Поле скоростей жидкости в трубе имеет только одну отличную от нуля составляющую — в направлении оси z_d : $\mathbf{v} = (0, 0, v)$. Предполагается, что скорость жидкости в трубе не зависит от расстояния до оси скважины и совпадает с осредненным значением. Движущаяся жидкость также приобретает фиктивные ортотропные свойства вследствие воздействия турбулентности [13].

Введем следующие безразмерные переменные:

$$r = \frac{r_d}{r_0}, \quad z = \frac{z_d}{D}, \quad \text{Fo} = \frac{\tau a_{1r}}{r_0^2}, \quad T_1 = \frac{\theta_1 - \theta_{01} + \Gamma z_d}{\theta_0}, \quad \theta_0 = \Gamma D, \quad \chi = \frac{c_1 \rho_1}{c \rho},$$

$$\nu = \frac{r_0}{D}, \quad T = \frac{\theta - \theta_{01} + \Gamma z_d}{\theta_0}, \quad \Lambda = \frac{\lambda_{1r}}{\lambda_r}, \quad \text{Pe} = \frac{\nu r_0}{a_{1r}}, \quad H = \frac{\eta \rho g r_0}{\nu \theta_0}.$$

Тогда математическая постановка задачи включает уравнение теплопроводности в окружающей трубу массиве

$$\rho_1 c_1 \frac{\partial \theta_1}{\partial \tau} = \lambda_{1z} \frac{\partial^2 \theta_1}{\partial z^2} + \lambda_{1r} \frac{1}{r} \frac{\partial}{\partial r} \left(r \frac{\partial \theta_1}{\partial r} \right), \quad r > r_0, \quad \tau > 0, \quad z > 0 \quad (1)$$

и уравнение конвективной теплопроводности флюида в скважине

$$\rho c \frac{\partial \theta}{\partial \tau} = \lambda_z \frac{\partial^2 \theta}{\partial z^2} + \lambda_r \frac{1}{r} \frac{\partial}{\partial r} \left(r \frac{\partial \theta}{\partial r} \right) - \rho c v \frac{\partial \theta}{\partial z} + q, \quad r < r_0, \quad \tau > 0, \quad z > 0 \quad (2)$$

(λ_r, λ_z — соответствующие осям компоненты тензора теплопроводности жидкости). На границе трубы и окружающего массива заданы условия равенства температур и тепловых потоков:

$$\theta|_{r=1} = \theta_1|_{r=1}, \quad \lambda_r \frac{\partial \theta}{\partial r}|_{r=1} = \lambda_{1r} \frac{\partial \theta_1}{\partial r}|_{r=1}. \quad (3)$$

Начальные условия соответствуют естественной невозмущенной температуре Земли, возрастающей по мере увеличения глубины z по линейному закону

$$\theta|_{\tau=0} = \theta_1|_{\tau=0} = \theta_{01} - \Gamma z \quad (4)$$

и равной температуре в удаленных от трубы точках окружающего массива

$$\theta_1|_{r \rightarrow \infty} = \theta_{01} - \Gamma z. \quad (5)$$

В точке $z = 0$ температура потока известна:

$$\theta|_{z=0} = \theta_{10}(\tau). \quad (6)$$

Для обеспечения единственности решения задачи необходимо добавить граничные условия на оси z , однако необходимость записи их в явном виде отсутствует, поскольку вторыми производными по z , как показано ниже, можно пренебречь.

В уравнениях (1), (2) в слагаемых, содержащих вторую производную температуры по вертикальной координате, появляется малый множитель — квадрат величины $\nu = r_0/D \approx 10^{-4}$ ($r_0 \approx 0,1$ м — радиус скважины; $D \approx 10^3$ м — длина скважины или интервал, в котором измеряется температура). Поэтому слагаемые, содержащие коэффициент ν^2 , в уравнениях (1), (2) опущены.

В рассматриваемой задаче, записанной в безразмерных переменных, заменой Λ на $\varepsilon\Lambda$ формально введен параметр асимптотического разложения ε [5]:

$$\begin{aligned} \frac{\partial T_1}{\partial \text{Fo}} - \frac{1}{r} \frac{\partial}{\partial r} \left(r \frac{\partial T_1}{\partial r} \right) &= 0, \quad r > 1, \quad \text{Fo} > 0, \quad z > 0, \\ \frac{\partial T}{\partial \text{Fo}} - \frac{\chi}{\varepsilon\Lambda} \frac{1}{r} \frac{\partial}{\partial r} \left(r \frac{\partial T}{\partial r} \right) + \text{Pe} \nu \left(\frac{\partial T}{\partial z} - 1 + H \right) - Q(r, z, \text{Fo}) &= 0, \\ r < 1, \quad \text{Fo} > 0, \quad z > 0, \\ T|_{r=1} &= T_1|_{r=1}, \quad \frac{\partial T}{\partial r}|_{r=1} = \varepsilon\Lambda \frac{\partial T_1}{\partial r}|_{r=1}, \\ T|_{\text{Fo}=0} &= T_1|_{\text{Fo}=0} = 0, \quad T_1|_{r \rightarrow \infty} = 0, \quad T|_{z=0} = T_0(\text{Fo}). \end{aligned} \quad (7)$$

Здесь $T_0(\text{Fo})$ — температурный сигнал пласта, определяемый как относительная разность температур в скважине $\theta_{10}(\tau)$ и удаленной окружающей среде θ_{01} при $z = 0$: $T_0(\text{Fo}) = (\theta_{10}(\tau) - \theta_{01})/\theta_0$.

Решение задачи (7) представляется в виде асимптотических по параметру ε формул

$$T = T^{(0)} + \sum_{i=1}^n \varepsilon^i T^{(i)} + \Theta^{(i)}, \quad T_1 = T_1^{(0)} + \sum_{i=1}^n \varepsilon^i T_1^{(i)} + \Theta_1^{(i)}, \quad (8)$$

где i — порядковый номер приближения. Способ решения описан в работе [9].

Нулевое приближение представляет собой усредненные по сечению скважины значения температуры, что существенно для оценки физических процессов.

Точность первого приближения определяется оценкой остаточного члена. Коэффициент $T^{(1)}$ может быть найден таким образом, чтобы осредненное значение остаточного члена обращалось в нуль ($\langle \Theta \rangle = 0$) при любых значениях параметра ε . Такое асимптотическое приближение называется “в среднем точным”.

Решение задачи о температурном поле в скважине в нулевом приближении в пространстве изображений Лапласа — Карсона имеет вид

$$\begin{aligned} T^{(0)u} &= \int_0^z \frac{\text{Pe} \nu (1 - H) + 2Q_1^u(1, \xi, p)}{\text{Pe} \nu} e^{-\alpha_2(z-\xi)} d\xi + T_0^u(p) e^{-\alpha_2 z}, \\ r < 1, \quad z > 0. \end{aligned}$$

В отсутствие источников выражение для нулевого коэффициента в пространстве оригиналов при малых временах принимает следующий вид:

$$T^{(0)} = T_0 \operatorname{erfc} \left(\frac{\chi z}{\operatorname{Pe} \nu \sqrt{\operatorname{Fo} - z / (\operatorname{Pe} \nu)}} \right) \Phi \left(\operatorname{Fo} - \frac{z}{\operatorname{Pe} \nu} \right) + (1 - H) \int_0^z \operatorname{erfc} \left(\frac{\chi(z - \xi)}{\operatorname{Pe} \nu \sqrt{\operatorname{Fo} - (z - \xi) / (\operatorname{Pe} \nu)}} \right) \Phi \left(\operatorname{Fo} - \frac{z - \xi}{\operatorname{Pe} \nu} \right) d\xi, \quad (9)$$

$$\operatorname{Fo} > 0, \quad r < 1, \quad z > 0.$$

Полученное решение позволяет построить зависимости температуры от времени и вертикальной координаты в зоне влияния температурных сигналов пласта (точки I). В этой зоне ($0 < z < 1$) геотермический перепад температуры ΓD сопоставим с величиной температурной аномалии в пласте θ_{01} . Расчеты выполнены при следующих значениях параметров: $H = 0,1$, $\operatorname{Pe} = 10^4$, $\nu = 10^{-4}$.

На рис. 2 представлена зависимость относительной температуры в скважине от безразмерной вертикальной координаты в зоне влияния температурных сигналов пласта в различные моменты времени. При малых значениях z кривые, построенные без учета и с учетом температурного сигнала пласта, различаются существенно. С увеличением z различие между этими кривыми уменьшается. Разность между значениями $T^{(0)}$ в точках на указанных кривых соответствует вкладу температурного сигнала пласта в общее значение температуры. Анализ кривых показывает, что с увеличением времени протяженность

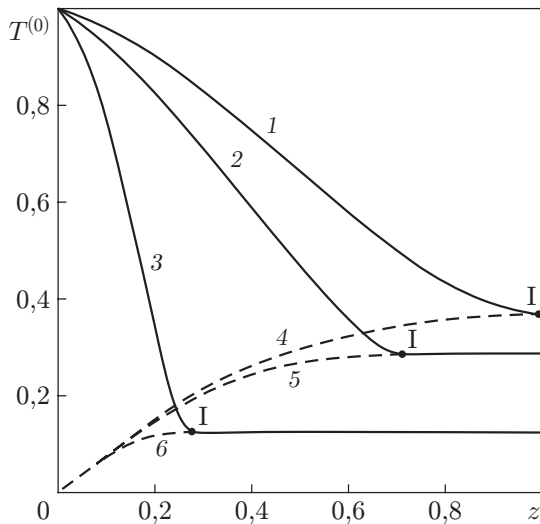


Рис. 2

Рис. 2. Зависимость температуры в скважине от безразмерной вертикальной координаты в зоне влияния температурных сигналов пласта в различные моменты времени:

1, 4 — $\operatorname{Fo} = 1,5$; 2, 5 — $\operatorname{Fo} = 1$; 3, 6 — $\operatorname{Fo} = 0,3$; штриховые линии — единичный температурный сигнал, сплошные — нулевой температурный сигнал

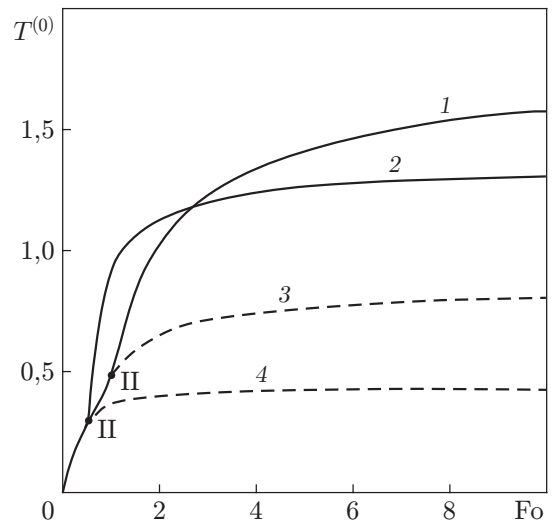


Рис. 3

Рис. 3. Зависимость температуры в скважине от безразмерного времени в зоне влияния температурных сигналов пласта при различных значениях z :

1, 3 — $z = 1$; 2, 4 — $z = 0,5$; сплошные линии — единичный температурный сигнал, штриховые — нулевой температурный сигнал

зоны влияния температурного сигнала пласта увеличивается и составляет $z = 0,25$ при $Fo = 0,3$, $z = 0,75$ при $Fo = 1$, $z = 1$ при $Fo = 1,5$.

На рис. 3 приведена зависимость температуры в скважине в нулевом приближении от безразмерного времени в зоне влияния температурных сигналов пласта. Из рис. 3 следует, что при малых временах вклад температурных сигналов пласта отсутствует, поэтому соответствующие кривые 2, 4 и 1, 3 совпадают, при подходе температурного сигнала (точки II) кривые расходятся. Разность между значениями $T^{(0)}$ в точках на указанных кривых соответствует вкладу температурного сигнала пласта. На рис. 3 видно, что с увеличением z время подхода температурного сигнала возрастает.

Из (9) следует, что решение задачи в нулевом приближении описывает зависимость средней по сечению скважины температуры от времени, но не описывает радиальное распределение температуры в скважине. Для решения задачи о радиальном распределении температуры решим краевую задачу для первых коэффициентов разложения [9]. При этом удовлетворить условию $T^{(1)}|_{z=0} = 0$ при любых r не представляется возможным, что свидетельствует о наличии пограничного слоя при малых z и приводит к необходимости изменения граничного условия. Очевидно, что граничное условие должно обеспечить повышение точности решения, зависящей от величины остаточного члена асимптотического разложения.

Вывод дополнительного условия из задачи для остаточного члена. Подставив в (7) асимптотические формулы

$$T = T^{(0)} + \varepsilon T^{(1)} + \Theta^{(1)}, \quad T_1 = T_1^{(0)} + \varepsilon T_1^{(1)} + \Theta^{(1)},$$

с учетом того что нулевые коэффициенты разложения и радиальные производные первых коэффициентов удовлетворяют рассмотренным выше задачам, получим задачу для остаточных членов асимптотических разложений

$$\begin{aligned} \frac{\partial \Theta_1}{\partial Fo} - \frac{1}{r} \frac{\partial}{\partial r} \left(r \frac{\partial \Theta_1}{\partial r} \right) &= 0, \\ \varepsilon \frac{\partial \Theta}{\partial Fo} - \frac{\chi}{\Lambda} \frac{1}{r} \frac{\partial}{\partial r} \left(r \frac{\partial \Theta}{\partial r} \right) + \text{Pe} \nu \varepsilon \frac{\partial \Theta}{\partial z} &= -\varepsilon^2 \left(\frac{\partial T^{(1)}}{\partial Fo} + \text{Pe} \nu \frac{\partial T^{(1)}}{\partial z} \right), \\ \Theta|_{r=1} = \Theta_1|_{r=1}, \quad \frac{\partial \Theta}{\partial r} \Big|_{r=1} &= \Lambda \varepsilon \frac{\partial (\varepsilon T_1^{(1)} + \Theta_1)}{\partial r} \Big|_{r=1}, \\ (\varepsilon T + \Theta)|_{Fo=0} = 0, \quad (\varepsilon T_1 + \Theta_1)|_{Fo=0} &= 0, \\ (\varepsilon T^{(1)} + \Theta)|_{z=0} = 0, \quad \Theta_1|_{r \rightarrow \infty} &= 0. \end{aligned} \quad (10)$$

Осредним задачу (10) по r в пределах от 0 до 1: $\langle \Theta \rangle = 2 \int_0^1 r \Theta dr$. Если среднеинтегральные значения температуры в точках $z = 0$ и $Fo = 0$ обращаются в нуль:

$$\langle T^{(1)} \rangle|_{z=0} = 0, \quad \langle T^{(1)} \rangle|_{Fo=0} = 0, \quad (11)$$

то осредненная задача для остаточного члена имеет тривиальное решение, т. е. решение исходной задачи (7) является “точным в среднем”.

Первый коэффициент асимптотического разложения температуры в скважине с учетом условия (11) в пространстве изображений определяется по формуле

$$\begin{aligned}
 T^{(1)u} = & -\frac{\Lambda r^2}{2} \sqrt{p} k T^{(0)u} + \frac{\Lambda}{4} \sqrt{p} k T_0^u(p) e^{-\alpha_2 z} + \\
 & + \Lambda \int_0^z e^{-\alpha_2(z-\xi)} \left(\frac{\chi p k^2}{2 \text{Pe} \nu} T^{(0)u} + \frac{\sqrt{p} k (1-H)}{4} \right) d\xi + \frac{\Lambda}{\chi} \left(2Q_3^u(1, 0, p) - \frac{Q_1^u(1, 0, p)}{4} \right) e^{-\alpha_2 z} + \\
 & + \frac{\Lambda r^2}{2\chi} Q_1^u(1, z, p) + \frac{2\Lambda k \sqrt{p}}{\text{Pe} \nu} \int_0^z Q_2^u(1, \xi, p) e^{-\alpha_2(z-\xi)} d\xi - \\
 & - \frac{\Lambda}{\chi} Q_2^u(r, z, p) - \frac{\Lambda}{4\chi} \int_0^z \left(\alpha_2 Q_1^u(1, \xi, p) + \frac{\partial Q_1^u(1, \xi, p)}{\partial \xi} \right) e^{-\alpha_2(z-\xi)} d\xi + \\
 & + 2 \frac{\Lambda}{\chi} \int_0^z \left(\frac{p}{\text{Pe} \nu} Q_3^u(1, \xi, p) + \frac{\partial Q_3^u(1, \xi, p)}{\partial \xi} \right) e^{-\alpha_2(z-\xi)} d\xi, \quad r < 1, \quad z > 0. \quad (12)
 \end{aligned}$$

В отсутствие источников первый коэффициент разложения в пространстве оригиналов для малых времен Fo определяется следующим образом:

$$\begin{aligned}
 T^{(1)} = & \Lambda \Phi \left(\text{Fo} - \frac{z}{\text{Pe} \nu} \right) \left\{ \frac{1-2r^2}{4} \frac{T_0}{\sqrt{\pi(\text{Fo}-z/(\text{Pe} \nu))}} \exp \left(-\frac{\chi^2 z^2}{\text{Pe}^2 \nu^2 (\text{Fo}-z/(\text{Pe} \nu))} \right) - \right. \\
 & - \frac{\chi(1-H)}{2} z \exp(4\chi^2 \text{Fo}) \text{erfc} \left[\chi \left(2\sqrt{\text{Fo}-\frac{z}{\text{Pe} \nu}} + \frac{z}{\text{Pe} \nu \sqrt{\text{Fo}-z/(\text{Pe} \nu)}} \right) \right] + \\
 & \left. + \frac{\chi T_0 z}{2 \text{Pe} \nu} \psi \left(\frac{2\chi z}{\text{Pe} \nu}, \text{Fo} - \frac{z}{\text{Pe} \nu} \right) \right\} + \\
 & + \Lambda \frac{1-2r^2}{4} (1-H) \int_0^z \Phi \left(\text{Fo} - \frac{z-\xi}{\text{Pe} \nu} \right) \frac{1}{\sqrt{\pi(\text{Fo}-(z-\xi)/(\text{Pe} \nu))}} \times \\
 & \times \exp \left(-\frac{\chi^2 (z-\xi)^2}{\text{Pe}^2 \nu^2 (\text{Fo}-(z-\xi)/(\text{Pe} \nu))} \right) d\xi + \\
 & + \Lambda \frac{\chi(1-H)}{2} \int_0^z \Phi \left(\text{Fo} - \frac{z-\xi}{\text{Pe} \nu} \right) \exp(4\chi^2 \text{Fo}) \times \\
 & \times \text{erfc} \left[\chi \left(2\sqrt{\text{Fo}-\frac{z-\xi}{\text{Pe} \nu}} + \frac{z-\xi}{\text{Pe} \nu \sqrt{\text{Fo}-(z-\xi)/(\text{Pe} \nu)}} \right) \right] d\xi, \quad r < 1, \quad z > 0.
 \end{aligned}$$

Найденное в первом приближении решение является необходимым для детального описания температурного поля в скважине. Это решение позволяет проводить расчеты радиальных распределений температуры в скважинах и ее изменения по мере увеличения глубины.

На рис. 4 приведена зависимость перепада температуры между стенкой и осью скважины $\bar{T} = T^{(1)} - T^{(1)}|_{r=1}$ от безразмерного времени на различных расстояниях от пласта.

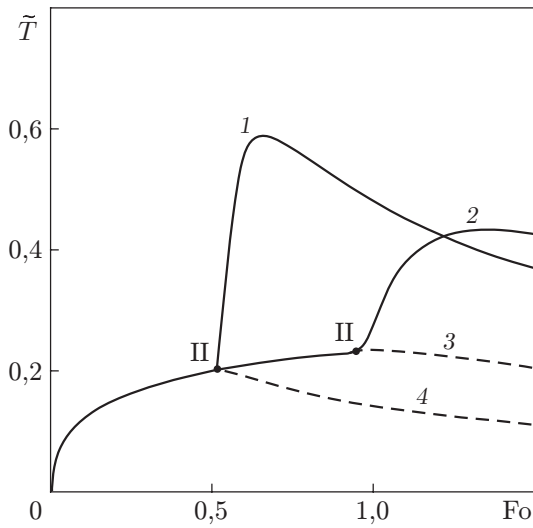


Рис. 4

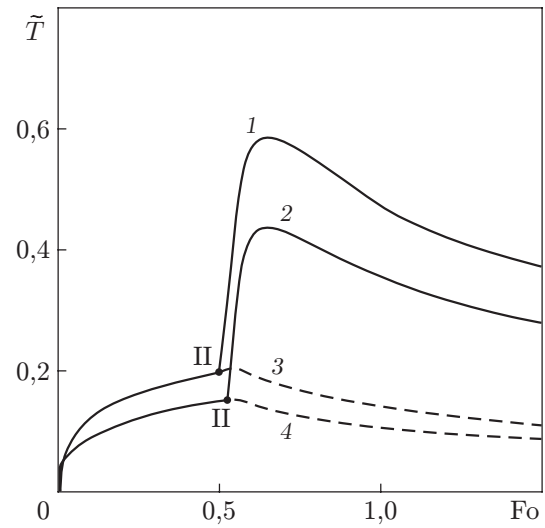


Рис. 5

Рис. 4. Зависимость перепада температуры между стенкой и осью скважины от безразмерного времени на различных расстояниях от пласта:

1, 4 — $z = 0,5$; 2, 3 — $z = 0,9$; сплошные линии — единичный температурный сигнал, штриховые — нулевой температурный сигнал

Рис. 5. Зависимость перепада температуры между стенкой и осью скважины от безразмерного времени на различных безразмерных расстояниях от оси скважины:

1, 4 — $r = 0$; 2, 3 — $r = 0,5$; сплошные линии — единичный температурный сигнал, штриховые — нулевой температурный сигнал

Из рис. 4 следует, что поведение кривых имеет общую закономерность: формирование температурного перепада с последующим его уменьшением, вызванным прогревом окружающей скважину породы, что приводит к уменьшению теплового потока из скважины в окружающую среду. Из анализа кривых на рис. 4 следует, что с увеличением расстояния от пласта время достижения максимума, как и величина относительного перепада температуры, возрастает. По мере удаления от оси скважины величина перепада температуры, естественно, уменьшается, а времена достижения максимума остаются приблизительно теми же. На рис. 5 приведена зависимость относительного перепада температуры между стенкой и осью скважины от безразмерного времени на различных безразмерных расстояниях от оси скважины. Из рис. 5 следует, что при удалении от оси скважины величина перепада температуры уменьшается, а время достижения максимума практически не меняется. Общая закономерность изменения кривых 1, 3 и 2, 4 заключается в том, что при достижении некоторого момента времени скорость роста температуры существенно возрастает, что соответствует подходу температурного сигнала пласта. В дальнейшем температура достигает максимума, а затем понижается.

Решение задачи для пограничного слоя. Представив решение задачи (7) в виде суммы

$$\hat{T} = T + \Pi_z + \Pi_{Fo}, \quad \hat{T}_1 = T_1 + \Pi_{z1} + \Pi_{Fo1}$$

($T = T(r, z, Fo)$) — регулярная часть решения, соответствующая найденному выше первому приближению; $\Pi_z(r, \zeta, Fo)$, $\Pi_{Fo}(r, z, \tau)$ — поправки в разложении по асимптотическому параметру, учитывающие наличие пограничного слоя; $\zeta = z/\varepsilon$, $\tau = Fo/\varepsilon$ — растянутые

переменные), получим задачи для функций Π_z, Π_{Fo} в окрестности $z = 0$:

$$\begin{aligned} \frac{\partial \Pi_{z1}}{\partial Fo} &= \frac{1}{r} \frac{\partial}{\partial r} \left(r \frac{\partial \Pi_{z1}}{\partial r} \right), \\ \frac{\partial \Pi_z}{\partial Fo} &= \frac{\chi}{\Lambda \varepsilon} \frac{1}{r} \frac{\partial}{\partial r} \left(r \frac{\partial \Pi_z}{\partial r} \right) - \frac{Pe \nu R(r)}{\varepsilon} \frac{\partial \Pi_z}{\partial \zeta}, \\ \Pi_z|_{r=1} &= \Pi_{z1}|_{r=1}, \quad \frac{\partial \Pi_z}{\partial r} \Big|_{r=1} = \varepsilon \Lambda \frac{\partial \Pi_{z1}}{\partial r} \Big|_{r=1}, \\ \Pi_{z1}|_{r \rightarrow \infty} &= 0, \quad \Pi_z|_{Fo=0} = 0, \quad \Pi_{z1}|_{Fo=0} = 0, \\ \Pi_z|_{\zeta=0} &= -T|_{z=0}, \quad \Pi_{z1}|_{\zeta=0} = -T_1|_{z=0} \end{aligned}$$

и в окрестности $Fo = 0$:

$$\begin{aligned} \frac{1}{\varepsilon} \frac{\partial \Pi_{Fo1}}{\partial \tau} &= \frac{1}{r} \frac{\partial}{\partial r} \left(r \frac{\partial \Pi_{Fo1}}{\partial r} \right), \\ \frac{\partial \Pi_{Fo}}{\partial \tau} &= \frac{\chi}{\Lambda} \frac{1}{r} \frac{\partial}{\partial r} \left(r \frac{\partial \Pi_{Fo}}{\partial r} \right) - \varepsilon Pe \nu R(r) \frac{\partial \Pi_{Fo}}{\partial z}, \\ \Pi_{Fo}|_{r=1} &= \Pi_{Fo1}|_{r=1}, \quad \frac{\partial \Pi_{Fo}}{\partial r} \Big|_{r=1} = \varepsilon \Lambda \frac{\partial \Pi_{Fo1}}{\partial r} \Big|_{r=1}, \\ \Pi_{Fo}|_{\tau=0} &= -T|_{Fo=0}, \quad \Pi_{Fo1}|_{\tau=0} = -T_1|_{Fo=0}, \\ \Pi_{Fo}|_{z=0} &= 0, \quad \Pi_{Fo1}|_{r \rightarrow \infty} = 0. \end{aligned}$$

Решения этих задач находятся методом разделения переменных и выражаются через функции Бесселя действительного аргумента $J_0(\mu_n r)$:

$$\begin{aligned} \Pi_z^{(1)} &= -2 \sum_{n=1}^{\infty} \frac{J_0(\mu_n r)}{J_0^2(\mu_n)} \exp \left(-\mu_n^2 \frac{\chi}{\varepsilon \Lambda Pe \nu} z \right) \int_0^1 r T^{(1)}|_{z \rightarrow 0} J_0(\mu_n r) dr, \\ \Pi_{Fo}^{(1)} &= -2 \sum_{n=1}^{\infty} \frac{J_0(\mu_n r)}{J_0^2(\mu_n)} \exp \left(-\mu_n^2 \frac{\chi}{\varepsilon \Lambda} Fo \right) \int_0^1 r T^{(1)}|_{Fo \rightarrow 0} J_0(\mu_n r) dr \end{aligned}$$

(μ_n — корни уравнения $J_1(\mu) = 0$). Значения $T^{(1)}|_{Fo \rightarrow 0}, T^{(1)}|_{z \rightarrow 0}$ определяются согласно (12). Нетрудно показать, что в отсутствие источников $T^{(1)}|_{Fo \rightarrow 0} = 0$. Это означает, что в окрестности $Fo = 0$ при $Q = 0$ пограничный слой исчезает.

На рис. 6 показана зависимость температуры флюида от глубины z на различных расстояниях от оси скважины с учетом наличия пограничного слоя. Видно, что по мере приближения к оси скважины флюид прогревается сильнее. (Этот вывод согласуется с физическими представлениями.) Все зависимости удовлетворяют граничному условию $T|_{z=0} = 1$, что достигается за счет наличия пограничного слоя. На рис. 7 приведены температурные кривые без учета (кривые 1, 3) и с учетом наличия пограничного слоя (кривые 2, 4). Из рис. 7 следует, что при учете наличия пограничного слоя результаты расчетов температуры соответствуют условиям задачи $T|_{z=0} = 1$. Кривые 1, 3, построенные без учета наличия пограничного слоя, этому условию не удовлетворяют, однако следует отметить, что различие результатов расчетов не превышает 17 % при $r = 0$ и уменьшается с увеличением z . Совпадение кривых, построенных с учетом и без учета наличия пограничного слоя, наблюдается при $z > 0,35$ ($r = 0$) и $z > 0,2$ ($r = 0,5$).

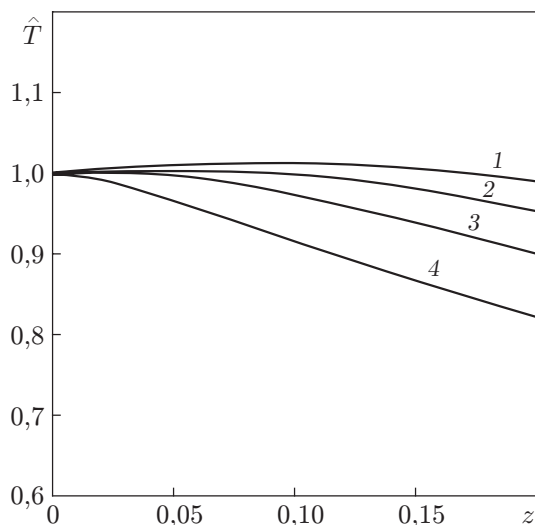


Рис. 6

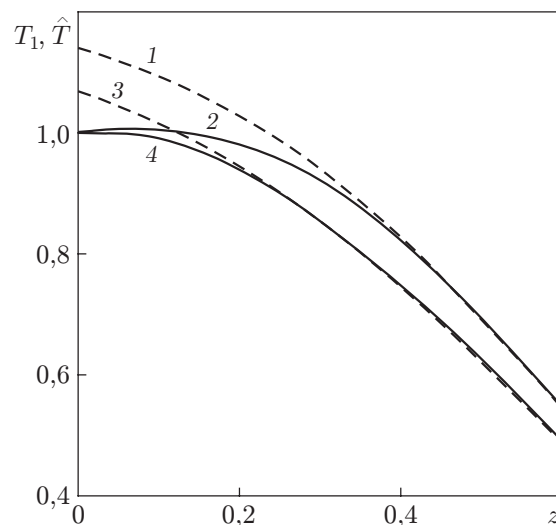


Рис. 7

Рис. 6. Зависимость температуры флюида от безразмерной вертикальной координаты с учетом наличия пограничного слоя на различных безразмерных расстояниях от оси скважины:

1 — $r = 0$; 2 — $r = 0,4$; 3 — $r = 0,6$; 4 — $r = 0,8$

Рис. 7. Зависимость температуры флюида от безразмерной вертикальной координаты без учета (1, 3) и с учетом (2, 4) наличия пограничного слоя на различных безразмерных расстояниях от оси скважины:

1, 2 — $r = 0$; 3, 4 — $r = 0,5$

Таким образом, в настоящей работе построено “в среднем точное” решение в виде $T = T^{(0)} + \varepsilon(T^{(1)} + \Pi^{(1)})$, где нулевое приближение описывает осредненные по сечению скважины значения температуры, первое приближение позволяет исследовать радиальные распределения температуры в случае отсутствия пограничного слоя, а с помощью функции, учитывающей наличие пограничного слоя, уточняется решение в области вязких границ.

Выводы. Разработанная концепция “в среднем точного” решения позволяет построить аналитические решения задачи о температурном поле в скважине с учетом теплообмена с окружающими скважину породами при произвольном вертикальном градиенте температуры флюида и оценить вклад температурного сигнала перфорированного пласта в температурное поле скважины.

ЛИТЕРАТУРА

1. Терехов В. И., Ярыгина Н. И., Смульский Я. И. Тепловые и динамические характеристики отрывного течения за плоским ребром с различной ориентацией к потоку // ПМТФ. 2007. Т. 48, № 1. С. 103–109.
2. Мелихов В. И., Мелихов О. И., Парфенов Ю. В., Якунин С. Е. Анализ температурного режима работы фильтровальной установки // ПМТФ. 2007. Т. 48, № 6. С. 92–102.
3. Латышев А. В., Попов В. Н., Юшканов А. А. Влияние температуры молекулярного газа на значения коэффициентов скольжения // ПМТФ. 2006. Т. 47, № 1. С. 58–65.
4. Филиппов А. И. Скважинная термометрия переходных процессов. Саратов: Изд-во Саратов. ун-та, 1989.

5. **Филиппов А. И., Михайлов П. Н.** Температурные поля в скважине с учетом радиального профиля скорости в асимптотическом приближении // Инж.-физ. журн. 2006. Т. 78, № 4. С. 87–96.
6. **Чекалюк Э. Б.** Термодинамика нефтяного пласта. М.: Недра, 1965.
7. **Пудовкин М. А.** Температурные процессы в действующих скважинах / М. А. Пудовкин, А. Н. Саламатин, В. А. Чугунов. Казань: Изд-во Казан. ун-та, 1977.
8. **Проселков Ю. М.** Теплопередача в скважинах. М.: Недра, 1975.
9. **Филиппов А. И., Михайлов П. Н., Ахметова О. В.** Температурное поле в действующей скважине // Сиб. журн. индустр. математики. 2004. Т. 7, № 1. С. 135–144.
10. **Филиппов А. И., Михайлов П. Н., Ахметова О. В.** Основная задача термокаротаж // Теплофизика высоких температур. 2006. Т. 44, № 5. С. 747–755.
11. **Васильева А. Б.** Асимптотические разложения решений сингулярно возмущенных уравнений / А. Б. Васильева, В. Д. Бутузов. М.: Наука, 1978.
12. **Ломов С. А.** Введение в общую теорию сингулярных возмущений. М.: Наука, 1981.
13. **Николаевский В. Н.** Конвективная диффузия в пористых средах // Прикл. математика и механика. 1959. Т. 23, № 6. С. 1042–1050.
14. **Яковлев Б. А.** Прогнозирование нефтегазоносности недр по данным геометрии. М.: Недра, 1996.

*Поступила в редакцию 26/XI 2008 г.,
в окончательном варианте — 16/VI 2009 г.*
